

Pressure Distribution Inside Nucleons in a Tsallis-MIT Bag Model

Física de partículas

Presenta: **Manuel Alejandro Matías Astorga**
Director de tesis: **Dr. Gerardo Herrera Corral**

A thesis presented for the degree of
Doctor of Philosophy



Cinvestav

Departamento de física

CINVESTAV

CDMX, México

26 de noviembre de 2024

ABSTRACT

Resumen

Resumen en español [Mathematics](#)

Abstract

This is the abstract

AGRADECIMIENTOS

CONAHCYT, CINVESTAV, Dr Gerardo H. C.
Agradezco y acredito a [Josh Cassidy](#) por la plantilla de la portada de mi tesis.

CONTENIDO

| | |
|---|------------|
| Resumen | I |
| Agradecimientos | III |
| Lista de figuras | VII |
| Lista de Tablas | IX |
| Introducción | 1 |
| 1. Modelo de bolsa | 5 |
| 1.1. Modelo de bolsa | 5 |
| 1.1.1. ¿Por qué un modelo de bolsa? | 5 |
| 1.2. La aproximación de la cavidad esférica | 6 |
| 2. Estadística de Tsallis | 9 |
| 2.1. Introducción | 9 |
| 2.2. Presión dentro del hadrón | 9 |
| 2.2.1. Presión de gluones, un gas ideal de Bose - Einstein ultrarelativista | 10 |
| 2.2.2. Presión de quarks, un gas ideal de Fermi - Dirac ultrarelativista | 13 |
| 2.3. El protón en el modelo de Tsallis | 20 |
| 2.3.1. La entropía en el modelo de Tsallis | 20 |
| 2.3.2. La presión en el modelo de Tsallis | 21 |
| 3. Características de estructura del protón | 23 |
| 4. Significado físico del parámetro q de Tsallis | 27 |
| 5. Distribución de presión total y presión de gluones | 29 |
| 6. Resultados y conclusiones | 31 |
| B. Appendix On Collisions | 35 |

| | |
|----------------------------------|-----------|
| Appendix: On Collisions | 35 |
| B.1. On collisions | 35 |
| B. Appendix On Collisions | 35 |
| Appendix: On Collisions | 35 |
| B.1. On collisions | 35 |
| Acrónimos | 37 |
| List of terms | 39 |
| Bibliografía | 41 |

LISTA DE FIGURAS

| | | |
|------|--|----|
| 1. | Red LQCD | 1 |
| 2. | Diagrama de bolsa | 2 |
| 1.1. | Diagrama de bolsa con condiciones de frontera | 6 |
| 2.1. | Número de partículas para un gas de electrones a $T = 0$ | 14 |
| 3.1. | Temperatura como función del radio del protón | 23 |
| 3.2. | Posibles estructuras del modelo de bolsa | 24 |
| 3.3. | Presión de bolsa como función del radio del protón | 24 |
| 5.1. | Presión total en el modelo T-MIT bag model | 29 |
| 5.2. | Presión total, de quarks y de gluones | 30 |
| 6.1. | MIT-Bag model | 31 |

LISTA DE TABLAS

INTRODUCCIÓN

De acuerdo con el modelo de [Quantum Chromodynamics \(QCD\)](#) las partículas hadrónicas están formadas de quarks los cuales se encuentran confinados dentro de la dichos hadrones.

xd

Por años, varias descripciones fenomenológicas de las estructuras del protón han sido propuestas, tales como modelos de cuerdas [1, 2] [1, 2], que describe hadrones como cuerdas oscilantes, modelos de bolsa [3, 4], que considera quarks confinados en una cavidad, y modelos de valones [5].

Con el fin de explorar la física de materia quark, se han desarrollado varias técnicas que permiten vislumbrar los efectos de ese tipo de interacciones como por ejemplo [Lattice QCD \(LQCD\)](#); y por otro lado, se han desarrollado modelos que pueden bosquejar este tipo de interacciones a partir de simplificaciones como sucede en el modelo de bolsa ([Bag Model \(BM\)](#)), el modelo de cuerdas, el modelo de partones y un largo etcétera[4], puesto que ocurren interacciones no lineales dentro de los hadrones.

Cálculos de [LQCD](#) proporcionan resultados confiables de estructuras hadrónicas que contienen quarks pesados y ha sido recientemente usadas como cálculos de estado de arte por la colaboración HAL-QCD [6, 7]. La descripción obtenida por HAL QCD de los estados finales de interacciones fuertes entre sistemas protón-neutrón y protón hiperones fue comparado a los resultados experimentales publicados por la colaboración ALICE [8, 9]

[LQCD](#) consiste en una técnica numérica que lleva a cabo gran cantidad de cálculos en una red espacio - temporal Euclídea muy grande (los parámetros de red a son del orden de fm o como se menciona en [INTRO A LQCD], en un rango de $2 GeV \leq a^{-1} \leq 5 GeV$), figura 1. Debido a que ocupa redes con millones de nodos, la dificultad de este tipo de modelos recae en la cantidad de cálculos necesarios para resolver dichos modelos. Partiendo de esto, se tiene un nuevo problema: *el problema del signo* [más referencias], el cual surge en simulaciones Monte Carlo como las que se ocupan para resolver [LQCD](#), esto consiste en que el peso de las configuraciones de simulaciones cuánticas Monte Carlo se vuelven negativas o incluso complejas, y por lo tanto, no pueden ser interpretadas como probabilidades clásicas[Sign problem in QMC simulation].

Lattice QCD

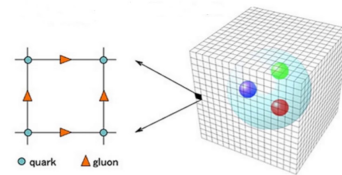


Figure 1: *Diagrama de red tipo LQCD en donde los nodos se encuentran donde los quarks y las aristas representan campos gluónicos*

NOTA: Hablar acerca del operador de Dirac no hermitiano

Los cálculos de [LQCD](#)

han conseguido resultados fiables acerca de las estructuras de hadrones que contienen quarks pesados

NOTA: Hablar acerca de resultados obtenidos con LQCD

Hemos propuesto un modelo que se basa en el modelo de bolsa ([BM](#)) del [Massachusetts Institute of Technology \(MIT\)](#) [add ref] y estadística no extensiva de Tsallis. Para simplificarlo lo llamaremos [T-MIT bag model](#). Por un lado hemos considerado el marco teórico del modelo de bolsa el cual consiste en que los hadrones son considerados como recipientes cerrados en donde se hallan un mar de quarks y gluones que interactúan y están encerrados dentro de los límites del hadrón que es la bolsa por una presión dirigida hacia adentro que contrarresta los efectos de la presión debida a los quarks, los gluones y su fuerza de interacción (figura 2) [referencias al modelo de bolsa].

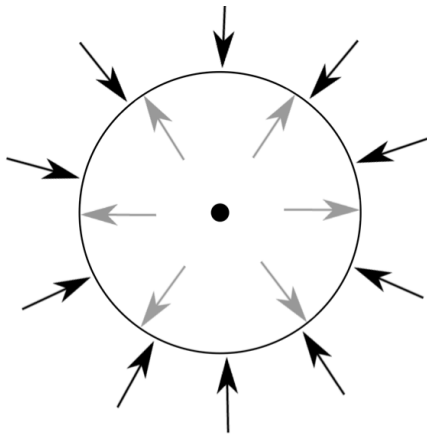


Figure 2: *Diagrama de bolsa, en el interior de la bolsa tenemos la presión generada por un plasma de quarks y gluones que considera tanto la presión dada por los quarks, por los gluones y por la interacción entre estos (dentro) y por otro lado la presión hacia el interior dada por la bolsa que coincide con los límites del hadrón.*

De esta manera, en nuestro modelo consideramos una simplificación de todos los cálculos que se ocupan en [QCD](#), con el fin de reducir esas interacciones a la contribución de una presión de bolsa B .

Por otro lado, consideramos la estadística no extensiva de Tsallis ya que proporciona el modelo necesario para representar al plasma de quarks y gluones (visto como gases de Fermi y Dirac por simplificación) con un parámetro que considera la interacción entre los quarks y los gluones. Este modelo se ha escogido por sus varias aplicaciones en otras áreas de investigación [más referencias] y que se ajusta muy bien a este modelo por tratarse de partículas que interactúan y con ello simplifican la no linealidad propia de esto [más referencias]. Cabe mencionar, que en este marco se pueden considerar gases con potencial químico, μ , no nulo lo cual es una ventaja a la hora de estudiar los diversos escenarios en los que los hadrones se encuentran.

Aquí proponemos una descripción fenomenológica basada en el modelo de bolsa del MIT [10, 11] y una aproximación estadística no extensiva. Esta podría ser referida como [T-MIT bag model](#) para abreviar la unión de la estadística no extensiva de Tsallis y el [MIT BM](#) [12]

De esta manera, el modelo [T-MIT bag model](#) es un modelo que introduce un potencial químico, μ , distinto de cero para estudiar el modelo hadrónico un poco más extendido. Hemos comparado estos resultados con los obtenidos en [Nature], donde se ha obtenido la distribución de presión de quarks dentro del protón usando [Deep Virtual Compton Scattering \(DVCS\)](#), lo cual consiste en dispersar fotones virtuales de altas energías radiadas por electrones y la emisión subsecuente de un protón real. El fotón en el estado final permite la estimación de transferencia de momento al protón, que permanece intacto. El análisis recae en métodos desarrollados para extraer información a partir de [Generalized Parton Distributions \(GPD\)](#) y [Compton Form Factors \(CFFs\)](#). Así se obtuvo una presión repulsiva de los quarks cerca del centro del protón y una presión de atadura a distancias por encima de $0.6 fm$ del centro. Sin embargo, hay que recordar que esto solo corresponde a los quarks, la presión debido a los gluones no se considera.

NOTA: Agregar referencias respecto a resultados experimentales acerca de la presión dentro del protón y la estructura del hadron.

La estadística de Tsallis fue introducida como una generalización de la aproximación de [BG](#) [13–17]. La estadística de Tsallis ha sido ampliamente usada en física de altas energías. Fue introducida por primera vez para describir producción de partículas en colisiones electrón positrón.



Las distribuciones diferenciales de momento transversal para hadrones cargados con respecto al eje de jet en varias energías de centro de masa fueron ajustadas existosamente con una función de Tsallis [18, 19]. Las distribuciones de Tsallis también han sido usadas en colisiones protón protón[20–23] y iones pesados [24, 25] para describir los datos experimentales.

Aquí, incorporamos la estadística no extensiva de Tsallis en el **T-MIT bag model** para describir fermiones y bosones como componentes no independientes de los hadrones. En el nuevo **T-MIT bag model**, uno puede estimar la distribución de presión total dentro de los nucleones. Comparamos el perfil resultante con la distribución de presión extraída de quarks publicada recientemente [26].

Por el lado experimental, los proyectos están ahora implementando técnicas para ganar más conocimiento en la estructura del hadrón[27] así como los efectos residuales de interacciones fuertes nucleon nucleon y nucleon hiperon [28, 29]. El colisionador de iones de electrones

En el trabajo que se describe a continuación tenemos la siguiente estructura: En el capítulo 1 se explica a detalle el modelo de bolsa que hemos ocupado en este trabajo, se explica por qué es útil el modelo de bolsa, sus limitaciones y se desarrollan las ecuaciones necesarias para hallar la presión de bolsa y una breve explicación de cómo es que se puede interpretar, en una sección posterior se busca darle otra interpretación; el capítulo 2 hace una explicación detallada de cómo se tratan los quarks y los gluones dentro de los hadrones y cómo es que la no extensividad produce un parámetro de Tsallis q , tal que sustituye la interacción entre quarks y gluones y explica por qué es una extensión de la estadística de Boltzmann - Gibbs (BG): el capítulo 4 trata de un último preámbulo y es que hemos considerado que la temperatura, parámetro necesario para hallar la presión dentro de la estadística de Tsallis, es función de la distancia respecto al origen de nuestro hadrón; el capítulo 5 explica primeramente los resultados obtenidos en [Nature] y cómo se obtiene la distribución de presión de quarks usando DVCS, y a partir de nuestro marco **T-MIT bag model** encontramos la presión de gluones, se muestran algunos ejemplos de cómo varía a distintos valores de potencial químico, μ , y se compara con la presión de quarks de nature y la presión total; el capítulo 6 habla de una posible interpretación física del parámetro de Tsallis q , y su relación con la presión de bolsa; finalmente en el capítulo 7 comparamos nuestros resultados obtenidos con el modelo **T-MIT bag model** y esos de [Nature]

CAPÍTULO

1

MODELO DE BOLSA

1.1. Modelo de bolsa

El modelo de bolsa es una forma mejorada del modelo de quarks, en que los quarks son tratados relativísticamente. Un grado de libertad de “bolsa” es introducido explícitamente, tal que la física dentro de la bolsa es diferente de la de afuera. Dentro los quarks de la bolsa no tienen masa, fuera son infinitamente vacíos. Hay también una diferencia finita entre densidad de energía dentro y fuera; el “vacío de bolsa” tiene energía más alta que el vacío normal. El tamaño de la bolsa es determinado por un balance entre la energía cinética que requiere localizar los quarks dentro (de acuerdo al principio de incertidumbre) y la energía volumétrica asociada con el vacío de bolsa [ref bag model].

En este marco, uno puede calcular masas de mesones y bariones así como sus momentos magnéticos y otras cantidades estáticas.

Las ideas de [QCD](#) contribuyen al modelo de bolsa en dos formas esenciales [30]:

1. En conjunto con los quarks, los campos gluónicos también se desvanecen fuera de la región de bolsa. De acuerdo a la ley de Gauss, es sólo posible si el contenido de la bolsa forma un singlete de color general, por lo cual las bolsas hadrónicas deberían ser estados $\bar{q}q$ o qqq
2. Además, uno podría intentar incluir el intercambio de gluones como una corrección para la propagación libre de quarks en la bolsa. Si esto es hecho, la descripción de los detalles del espectro de meson y barion mejora.

Cabe mencionar que la libertad asintótica sugiere la casi libre propagación de quarks a cortas distancias asumida en el modelo de bolsa.

1.1.1. ¿Por qué un modelo de bolsa?

Durante el desarrollo temprano del modelo de quarks de hadrones ligeros fueron tratados como estados ligados de quarks moviéndose no relativísticamente en un potencial confinante. Sistemas no relativísticos tienen energías que son pequeños comparados a las masas componentes. En mesones y bariones estas energías son comparables a las masas de quarks de estos modelos. A pesar que se esperaba que la espectroscopía, estructura e interacción de hadrones podría ser deducida de primeros



principios, las complejidades de QCD conllevaron a modelos aproximados, tales como el modelo de bolsa del *Massachusetts Institute of Technology (MIT)* [31], el modelo de bolsa del *Stanford Linear Accelerator Center (SLAC)* y el modelo de bolsa de soliton. Estos modelos de bolsa intentan incorporar tres características deseables de estructura hadrónica que fueron omitidos desde la aproximación QCD no relativística temprana:

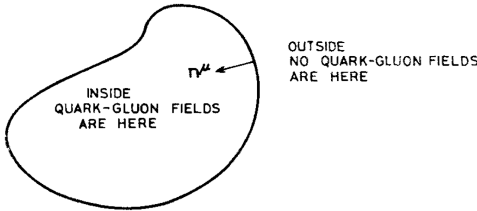
- a) la propiedad de QCD de libertad asintótica de distancia corta, que por un lado permite el uso de teoría de perturbación en descripción de interacción de quark-gluon a corta distancia, y por otro lado prohíbe la propagación de campos colorados a grandes distancias;
- b) la introducción de gluones como constituyentes hadrónicos y los mediadores de la interacción a corta distancia entre quarks; y
- c) un marco relativístico e invariante de norma.

1.2. La aproximación de la cavidad esférica

Consideramos la bolsa con sólo cuarks presentes, la acción está dada por

$$W = \int dt \left[\int_V d^3x \left(\frac{i}{2} \bar{\psi} \overleftrightarrow{\partial}_\mu \gamma^\mu \psi - \bar{\psi} m \psi - B \right) - \frac{1}{2} \int_S d^2x \bar{\psi} \psi \right] \quad (1.1)$$

donde V es el volumen ocupado en la bolsa con superficie S , ψ es el espinor de campo de quark (γ^μ son las matrices gamma), $\overleftrightarrow{\partial}_\mu$ es la derivada sobre lo de la derecha menos la derivada sobre lo de la izquierda, m es la masa de los quarks que se mueven en la cavidad esférica que es la bolsa y B es la presión de bolsa. El término superficial es agregado tal que los quarks se mueven como si tuvieran una masa infinita fuera de la bolsa justo este es el modelo del MIT.



La ecuación de Dirac (y condiciones de frontera) para el caso de una bolsa con solo quarks presentes se consigue como un extremo de la acción (1.1) bajo variaciones en ψ y V

$$(i\rlap{\not{\partial}}_\mu - m)\psi = 0 \quad \text{en } V, \quad (1.2)$$

donde $\rlap{\not{\partial}}_\mu = \partial_\mu \gamma^\mu$ y con las condiciones de frontera

$$\left. \begin{aligned} i n^\mu \gamma_\mu \psi &= \psi \\ \frac{1}{2} n_\mu \partial^\mu (\bar{\psi} \psi) &= B \end{aligned} \right\} \quad \text{sobre } S, \quad (1.3)$$

Figure 1.1: Dentro de la bolsa se encuentran los quarks encerrados por la presión de la bolsa.

donde n_μ es la normal interior covariante a la superficie. La primera condición de frontera (1.3) requiere que la componente normal del vector corriente $J_\mu = \bar{\psi} \gamma_\mu \psi$ se elimine en la superficie. La otra condición requiere que la presión exterior del campo de quarks se equilibre con la presión de bolsa (figura 1.1)[referencia MIT BM]. 50 Years of Quantum Chromodynamics

La solución general a las ecuaciones (1.2) y (1.3) es una superposición (con coeficientes a_α) de soluciones a la ecuación de Dirac libre:

$$\psi_\alpha(x, t) = \sum_{n\kappa jm} N(\omega_{n\kappa j}) a_\alpha(n\kappa jm) \psi_{n\kappa km}(x, t). \quad (1.4)$$

j y m etiquetan el modo del momento angular y su zomponente z . κ es el número cuántico de Dirac¹, que diferencia los dos estados de paridad opuesta para cada valor de j . El índice n etiqueta

¹ $\kappa = \pm(j + \frac{1}{2})$,

frecuencias que están a ser determinadas por las condiciones de frontera lineales. La condición de frontera cuadrática (3b) restringe los modos que pueden ser excitados. Entre otras cosas, 3b permite sólo soluciones para la ecuación de Dirac. Para $j = \frac{1}{2}$, ya sea $\kappa = -1$,

$$\psi_{n-1 \frac{1}{2} m}(x, t) = \frac{1}{\sqrt{4\pi}} \begin{pmatrix} i j_0(\omega_{n,-1} r/R_0) U_m \\ -j_1(\omega_{n,-1} r/R_0) \sigma \cdot \hat{r} U_m \end{pmatrix} \times e^{-i\omega_{n,-1} t/R_0} \quad (1.5)$$

o $\kappa = 1$

$$\psi_{n 1 \frac{1}{2} m}(x, t) = \frac{1}{\sqrt{4\pi}} \begin{pmatrix} i j_1(\omega_{n,1} r/R_0) \sigma \cdot \hat{r} U_m \\ j_0(\omega_{n,1} r/R_0) U_m \end{pmatrix} \times e^{-i\omega_{n,1} t/R_0} \quad (1.6)$$

U_m es un espino de Pauli bidimensional y $j_\ell(z)$ son las funciones de Bessel esféricas. Hemos omitido los índices j sobre $\omega_{n\kappa}$ ya que solo $j = \frac{1}{2}$ es de interés en el presente. $N(\omega_{n\kappa})$ es una constante de normalización escogida para conveniencia futura:

$$N(\omega_{n\kappa}) \equiv \left(\frac{\omega_{n\kappa}^3}{2R_0^3(\omega_{n\kappa} + \kappa) \sin^2 \omega_{n\kappa}} \right)^{1/2} \quad (1.7)$$

La condición de frontera lineal (3a) genera una condición eigenvalor para los modos de frecuencias $\omega_{n\kappa}$

$$j_0(\omega_{n\kappa}) = -\kappa j_1(\omega_{n\kappa}),$$

o

$$\tan \omega_{n\kappa} = \frac{\omega_{n\kappa}}{\omega_{n\kappa} + \kappa} \quad (1.8)$$

[Por convención escogemos n positiva (negativa) secuencialmente para etiquetar las raíces positivas (negativas) de la eq 7] Las primeras soluciones a (1.8) son

$$\begin{aligned} \kappa = -1 : \quad \omega_{1-1} &= 2.04; \quad \omega_{2-1} = 5.40 \\ \kappa = +1 : \quad \omega_{1+1} &= 3.81; \quad \omega_{2+1} = 7.00. \end{aligned} \quad (1.9)$$

La condición de frontera cuadrática requiere que $\sum_\alpha (\partial/\partial r) \bar{\psi}_\alpha(x) \psi_\alpha(x)$ sea independiente de tiempo y dirección para $r = R_0$. La independencia angular requiere que $j = \frac{1}{2}$. Para obtener independencia temporal, ajustamos

$$\sum_\alpha a_\alpha^*(n \kappa j = \frac{1}{2} m) a_\alpha(n' \kappa' j = \frac{1}{2} m') = 0, \quad (1.10)$$

a menos que $n = n'$, $\kappa = \kappa'$ o $n = -n'$, $\kappa = -\kappa'$ en cuyos casos no hay restricción ya que los términos dependientes del tiempo se cancela. La ecuación anterior es una restricción severa sobre los modos que deben ser ocupados. Deberíamos implementar la ecuación anterior requiriendo que para cada grado de libertad interno α sólo un modo normal, $a_\alpha(n \kappa j = \frac{1}{2} m)$ es excitado. Esto automáticamente será el caso para bariones de tres quarks si son requeridos a ser singletes de color.

Una vez que (1.10) es satisfecho, los términos independientes del tiempo en (1.6) pueden ser coleccionados,

$$\sum_{\alpha n \kappa m} \omega_{n\kappa} a_\alpha^*(n \kappa \frac{1}{2} m) a_\alpha(n \kappa \frac{1}{2} m) = 4\pi B R_0^4, \quad (1.11)$$

$$x d \quad (1.12)$$



Conclusiones

- a) El campo en la bolsa se comporta sobre el promedio como un gas relativista perfecto; que es, la traza del tensor energía momento asociado con el campo, cuando es promediado sobre tiempo y espacio, es cero:

$$\left\langle \int_R d^3x (\Theta^\mu_\mu)_{\text{campo}} \right\rangle = 0 \quad (1.13)$$

- b) El volumen promediado en el tiempo de una bolsa es proporcional a su energía:

$$E = 4B\langle V \rangle \quad (1.14)$$

- c) El estado base y estados excitados más bajos de la bolsa contienen pocos partones de momento promedio de orden $B^{1/4}$ encerrados en un volumen de orden $B^{-3/4}$. [B tiene la dimensión (longitud) $^{-4}$ con $\hbar = c = 1$]

- d) En el límite termodinámico la bolsa tiene una temperatura fija, T_0 , independiente de su energía. T_0 es de orden $B^{-1/4}$. Esto es equivalente a las siguientes declaraciones

- La energía cinética promedio de los partones es de orden T_0 independiente de la energía de bolsa E proporcionado el último es más grande que T_0 : $E \gg T_0$.
- La densidad de nivel asintótico $\zeta(E)$ del sistema es una función exponencial de E :

$$\zeta \sim e^{E/T_0}$$

- El número, N , de partones más antipartones presente en el hadrón es proporcional a su energía:

$$N \propto E/T_0$$

- e) Si la dinámica clásica es tal que hay un máximo momento angular del hadrón en una energía total dada E , ese máximo debe ser

$$J_{\text{máx}} = \kappa B^{-1/3} E^{4/3},$$

donde κ es una constante adimensional determinada por la dinámica detallada. Si el límite clásico ($\hbar \rightarrow 0$) existe, las correcciones cuánticas a esta fórmula se reducirían por potencias de E . Si no hay trayectoria clásica a seguir, un argumento plausible sugiere que la trayectoria guía podría ser (para un gran E)

$$J_{\text{máx}} = \kappa' B^{-1/2} E^2 \quad (\hbar = 1).$$

- f) El momento angular más probable para una E grande está dada por

$$\bar{J} \propto (B^{-1/4} E)^{5/6}$$

CAPÍTULO

2

ESTADÍSTICA DE TSALLIS

2.1. Introducción

La mecánica estadística estándar está basada en la entropía de [Boltzmann - Gibbs \(BG\)](#)

$$S_{BG} = -k \sum_{i=1}^W p_i \ln p_i, \quad \sum_{i=1}^W p_i = 1 \quad (2.1)$$

donde W es el número de configuraciones microscópicas del sistema y p_i es la probabilidad de acceder a la i -ésima configuración. Sin embargo, sistemas de no lineales dinámicos de muchos cuerpos requieren *ergodicidad* (que su valor esperado sea igual a su promedio a largo plazo). Para sistemas no ergódicos, que sucede con sistemas complejos, no existe razón para usar estadística [BG](#). Por esta razón se ha requerido de una extensión para sistemas de este tipo, llamados *no extensivos* (pues no son proporcional al número total de elementos del sistema), una de ellas es la siguiente, que extiende la entropía de [BG](#) como

$$S_q = k \frac{1 - \sum_i p_i^q}{q - 1} \quad (q \in \mathbb{R}; S_{q=1} = S_{BG}) \quad (2.2)$$

Bajo esta generalización, en un sistema constituido por dos subsistemas probabilísticamente independientes A y B (i.e., si $p_{ij}^{A+B} = p_i^A p_j^B$), entonces

$$\frac{S_q(A+B)}{k} = \frac{S_q(A)}{k} + \frac{S_q(B)}{k} + (1-q) \frac{S_q(A)}{k} \frac{S_q(B)}{k}, \quad (2.3)$$

(más adelante se usarán unidades naturales por lo que no aparecerá la constante de [BG](#), k) de donde se observa claramente que cuando $q = 1$ se regresa a la estadística de [BG](#) [ref Tsallis statistics].

NOTA: En la misma referencia se agrega la obtención de la energía de Tsallis para las masas

2.2. Presión dentro del hadrón

A partir de la ecuación (2.3), podemos obtener la entropía dentro de un hadrón que consiste en una mezcla de gases quarks y gluon. De esta manera empezamos por considerar el cálculo de cada



contribución, los quarks vistos como un gas ideal de Fermi ultrarelativista y los gluones vistos como un gas ideal de **Bose - Einstein (BE)** ultrarelativista, ambos sin masa y no interactuantes, la interacción vendrá al final del parámetro q de Tsallis

2.2.1. Presión de gluones, un gas ideal de Bose - Einstein ultrarelativista

Los niveles de energía de un bosón visto como un gas ideal de **BE** están dados por $\epsilon_k = cp = \hbar ck$, p es la magnitud del momento de las partículas del gas, y k la magnitud del vector de onda. Y la función de partición para un gas ideal de **BE** está determinada por:

$$\Xi^{\text{BE}}(T, V, \mu) = \prod_{k=1}^{\infty} \frac{1}{1 - \xi e^{-\beta \epsilon_k}}, \quad (2.4)$$

donde $\beta = \frac{1}{kT}$, y $\xi = e^{\beta \mu}$ es la fugacidad del gas, T es la temperatura del gas, V el volumen del gas y μ el potencial químico del gas. El número de partículas promedio en cada estado de energía ϵ_k se calcula a través de la ecuación:

$$\langle n_k \rangle = -\frac{1}{\beta} \frac{\partial}{\partial \epsilon_k} \ln \Xi^{\text{BE}} \Big|_{\xi, V, \epsilon_{i \neq k}}, \quad (2.5)$$

$$\langle n_k \rangle = \frac{1}{\xi^{-1} e^{\beta \epsilon_k} - 1} \quad (2.6)$$

De tal manera que el número total de partículas promedio y energía se pueden calcular como

$$N(T, V, \mu) = \sum_k \langle n_k \rangle = \sum_k \frac{1}{\xi^{-1} e^{\beta \epsilon_k} - 1} \quad (2.7)$$

$$E(T, V, \mu) = \sum_k \langle n_k \rangle \epsilon_k = \sum_k \frac{\epsilon_k}{\xi^{-1} e^{\beta \epsilon_k} - 1}. \quad (2.8)$$

Para una gran cantidad de partículas, podemos sustituir la suma por una integral, considerando el número total de estados en el espacio fase clásico tenemos

$$\begin{aligned} \Sigma &= \int \frac{d^3 r d^3 p}{h^3} \\ &= V \int \frac{4\pi p^2 dp}{h^3} \\ &= \frac{4\pi V}{h^3} \int_0^{\infty} p^2 dp \end{aligned} \quad (2.9)$$

Usando la relación $\epsilon_k = cp$ obtenemos

$$\Sigma = \frac{4\pi V}{(hc)^3} \int_0^{\infty} \epsilon^2 d\epsilon \quad (2.10)$$

De esta forma, sustituyendo (2.10) en (2.7) y (2.8), obtenemos

$$N(T, V, \mu) = \frac{4\pi V}{(hc)^3} \int_0^{\infty} \frac{\epsilon^2 d\epsilon}{\xi^{-1} e^{\beta \epsilon} - 1} \quad (2.11)$$

$$E(T, V, \mu) = \frac{4\pi V}{(hc)^3} \int_0^{\infty} \frac{\epsilon^3 d\epsilon}{\xi^{-1} e^{\beta \epsilon} - 1} \quad (2.12)$$



Dado que tratamos con partículas sin masa, es posible tener infinitas partículas con energía $\epsilon_0 = 0$. De esta manera, el potencial químico μ debe ser cero pues es posible crear infinitas partículas con energía 0 sin afectar a nuestros resultados puesto que no contribuyen a la energía total del sistema. Así, si $\mu = 0$, entonces $\xi = 1$. Y sustituyendo en las ecuaciones (2.11) y (2.12) obtenemos

$$N(T, V) = \frac{4\pi V}{(hc)^3} \int_0^\infty \frac{\epsilon^2 d\epsilon}{e^{\beta\epsilon} - 1} \quad (2.13)$$

$$E(T, V) = \frac{4\pi V}{(hc)^3} \int_0^\infty \frac{\epsilon^3 d\epsilon}{e^{\beta\epsilon} - 1} \quad (2.14)$$

Para resolver las integrales, consideramos el cambio de variable $x = \beta\epsilon$, por lo que $\epsilon = \frac{x}{\beta}$ y así $d\epsilon = \frac{dx}{\beta}$ y así, entonces

$$N(T, V) = \frac{4\pi V}{(hc)^3} \frac{1}{\beta^3} \int_0^\infty \frac{x^2 dx}{e^x - 1} \quad (2.15)$$

$$E(T, V) = \frac{4\pi V}{(hc)^3} \frac{1}{\beta^4} \int_0^\infty \frac{x^3 dx}{e^x - 1} \quad (2.16)$$

Con lo cual, obtenemos las funciones especiales $g_n(\xi)$ con $0 \leq \xi \leq 1$ tales que

$$g_n(\xi) = \frac{1}{\Gamma(n)} \int_0^\infty \frac{x^{n-1} dx}{\xi^{-1} e^x - 1} \quad (2.17)$$

Tal que las integrales de (2.15) y (2.16) se vuelven

$$\int_0^\infty \frac{x^2 dx}{e^x - 1} = \Gamma(3) g_3(1) \quad (2.18)$$

$$\int_0^\infty \frac{x^3 dx}{e^x - 1} = \Gamma(4) g_4(1) \quad (2.19)$$

Sustituyendo las ecuaciones (2.18) y (2.19) en (2.15) y (2.16), respectivamente, y usando la propiedad $g_n(1) = \zeta(n)$, con $\zeta(n)$ representando la función zeta de Riemann, se obtiene

$$N(T, V) = \frac{4\pi V}{(hc)^3} \frac{1}{\beta^3} \Gamma(3) \zeta(3) \quad (2.20)$$

$$E(T, V) = \frac{4\pi V}{(hc)^3} \frac{1}{\beta^4} \Gamma(4) \zeta(4) \quad (2.21)$$

Ya que $\Gamma(n-1) = n!$ y $\zeta(4) = \frac{\pi^4}{90}$ se llega a

$$N(T, V) = 8\pi V \left(\frac{kT}{hc} \right)^3 \zeta(3) \quad (2.22)$$

$$E(T, V) = \frac{8\pi V}{(hc)^3} (kT)^4 \frac{\pi^4}{30} \quad (2.23)$$

Y usando unidades naturales $\hbar = k = x = 1$ y $h = 2\pi\hbar = 2\pi$, así entonces

$$N(T, V) = \frac{1}{\pi^2} \zeta(3) VT^3 \quad (2.24)$$

$$E(T, V) = \frac{\pi^2}{30} VT^4 \quad (2.25)$$

Finalmente, dado que hay tres componentes independientes de la carga de color, y consecuentemente $3 \times 3 - 1$ generadores de $SU(3)$, hay 8 diferentes tipos de gluones, y como cada gluón tiene dos proyecciones de espín, el factor de degeneración corresponde a $g_G = 8 \times 2 = 16$. Por lo tanto, pasamos a que las expresiones para el número total de gluones y la energía total de gluones como un gas ideal de BE ultrarrelativista son

$$N_G(T, V) = \frac{g_G}{\pi^2} \zeta(3) VT^3 \quad (2.26)$$

$$E_G(T, V) = g_G \frac{\pi^2}{30} VT^4 \quad (2.27)$$

Para calcular la contribución de presión debido a los gluones, partimos de la función de partición Ξ^{BE} y el potencial macrocanónico o potencial gran canónico ϕ

$$\begin{aligned} \phi &= -PV = -kT \ln \Xi^{BE} \\ \Rightarrow P &= \frac{kT}{V} \ln \Xi^{BE} \end{aligned} \quad (2.28)$$

Calculando el logaritmo de la función de partición (2.4) se tiene

$$\ln \Xi^{BE} = - \sum_{k=1}^{\infty} \ln \left(1 - \xi e^{-\beta \epsilon_k} \right) \quad (2.29)$$

Nuevamente ocupamos el hecho de que son estados energéticos tan cercanos y tal cantidad de partículas en distintos estados energéticos, podemos sustituir la suma por una integral, usando el número total de estados (2.10) y el hecho de que no hay potencial químico ($\mu = 0 \Rightarrow \xi = 1$) para obtener

$$\ln \Xi^{BE} = - \frac{4\pi V}{(hc)^3} \int_0^{\infty} \epsilon^2 \ln \left(1 - e^{-\beta \epsilon} \right) d\epsilon \quad (2.30)$$

Realizando la integral por partes tendremos

$$\begin{aligned} \ln \Xi^{BE} &= - \frac{4\pi V}{(hc)^3} \left[\frac{1}{3} \epsilon^3 \ln \left(1 - e^{-\beta \epsilon} \right) \Big|_0^{\infty} - \frac{1}{3} \beta \int_0^{\infty} \frac{\epsilon^3 d\epsilon}{e^{\beta \epsilon} - 1} \right] \\ &= \frac{4\pi V}{(hc)^3} \frac{kT}{3} \int_0^{\infty} \frac{\epsilon^3 d\epsilon}{e^{-\beta \epsilon} - 1} \end{aligned} \quad (2.31)$$

Resolviendo la integral, de la misma forma que con la ecuación (2.14), usando (2.19) y simplificando se llega a que la presión ejercida por un gas de partículas ultrarrelativistas tipo BE, usando la expresión (2.28), está dada como

$$P = \frac{1}{3} \frac{E}{V} \quad (2.32)$$

Y dado que existen g_G estados degenerados para la energía de los gluones, entonces, la presión correspondiente a los gluones es, usando (2.27),

$$P_G = g_G \frac{\pi^2}{90} T^4 \quad (2.33)$$



Como cálculo final, hallamos la entropía a partir del potencial gran canónico por medio de la relación

$$\begin{aligned}\phi &= E - TS - \mu N = -PV, \\ \Rightarrow S &= \frac{1}{T} (E + PV - \mu N)\end{aligned}\quad (2.34)$$

Sustituyendo la ecuación (2.32) en (2.34) y considerando $\mu = 0$, la entropía del sistema es

$$S = \frac{4}{3} \frac{E}{T} \quad (2.35)$$

Y tomando en cuenta que tratamos con la energía de gluones (2.27), la entropía del gas de gluones está dado como

$$S_G = 4g_G \frac{\pi^2}{90} VT^3. \quad (2.36)$$

2.2.2. Presión de quarks, un gas ideal de Fermi - Dirac ultrarrelativista

Las partículas ultrarrelativistas tienen una relación energía-momento $\epsilon = \|\vec{p}\|c^1$.

Hay ciertos bosones con esta relación energía-momento, pero el número de fermiones con masa en reposo despreciable es muy poca. Para casos prácticos, “despreciable” significa una masa en reposo del orden de los neutrinos ($m_\nu < 8\text{eV}$). El gas ultrarrelativístico de **Fermi - Dirac (FD)** puede ser visto como un gas caliente de fermiones con masa en reposo no despreciable, esto es, si el momento promedio en el gas es grande comparado con mc , es decir, si la energía térmica promedio kT es grande comparada con la masa en reposo.

A partir de mecánica cuántica relativista, se sabe que uno puede crear pares de partículas y antipartículas (quarks y antiquarks, en nuestro caso) del vacío con un gasto energético de $2mc^2$. Por lo tanto, no debemos considerar un gas de partículas **FD** solitarias, sino como pares partícula-antipartícula.

Así, trataremos con una mezcla de dos gases ideales **FD**, entre las cuales, son posibles reacciones “químicas”.

La función de partición para un gas ideal de **FD** está determinada por:

$$\Xi^{\text{FD}}(T, V, \mu) = \prod_{k=1}^{\infty} \left(1 + \xi e^{-\beta\epsilon_k}\right) \quad (2.37)$$

En este caso se considera una mezcla de gases (quarks y antiquarks), entonces la función de partición está dada como

$$\Xi(T, V, \mu_+, \mu_-) = \prod_{\epsilon_+} \left(1 + \xi_+ e^{-\beta\epsilon_+}\right) + \prod_{\epsilon_-} \left(1 + \xi_- e^{-\beta\epsilon_-}\right) \quad (2.38)$$

donde $\xi_+ = e^{\beta\mu_+}$ y $\xi_- = e^{\beta\mu_-}$ y el signo + corresponde a las partículas mientras que el signo - a las antipartículas. El número promedio de partículas en cada estado de energía se puede calcular usando la ecuación (2.5) y se obtiene

$$\langle n_k \rangle = \frac{1}{\xi^{-1} e^{\beta\epsilon_k} + 1} \quad (2.39)$$

por lo que el número total promedio para las partículas se calcularía a través de

¹De la fórmula general $\epsilon = \sqrt{p^2 c^2 + m^2 c^4}$, para masa en reposo despreciable.

$$\begin{aligned}
 N_+(T, V, \mu_+) &= \sum_{\epsilon_+} \langle n_{\epsilon_+} \rangle \\
 &= \sum_{\epsilon_+} \frac{1}{\xi_+^{-1} e^{\beta \epsilon_+} + 1}
 \end{aligned} \tag{2.40}$$

Y de manera análoga se obtiene el número total promedio de antipartículas

$$\begin{aligned}
 N_-(T, V, \mu_-) &= \sum_{\epsilon_-} \langle n_{\epsilon_-} \rangle \\
 &= \sum_{\epsilon_-} \frac{1}{\xi_-^{-1} e^{\beta \epsilon_-} + 1}
 \end{aligned} \tag{2.41}$$

En equilibrio termodinámico el número de promedio de partículas y antipartículas cambia constantemente debido al proceso de creación y aniquilación, por lo que no es conveniente fijar el número de ambas y posteriormente determinar los potenciales químicos. En lugar de ello, se realiza el siguiente análisis a fin de fijar el potencial químico.

Los cambios dN_+ y dN_- de los dos números de partículas están relacionados por la relación

$$dN_+ = dN_-$$

Las reacciones que suceden en el gas de quarks y antiquarks son de la forma

$$q + \bar{q} \rightleftharpoons \text{productos de reacción} + \Delta E$$

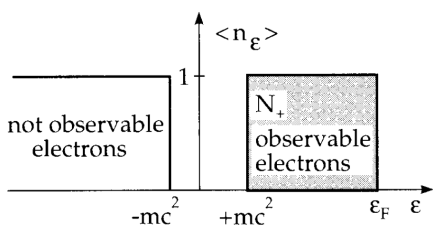
observamos que una antipartícula se crea o aniquila con cada partícula. Además, el resto de las partículas generadas por las reacciones creación-aniquilación no juegan un rol en el gas que estamos considerando de quarks antiquarks. Por esta razón, podemos notar que los potenciales químicos de partículas y antipartículas tienen que ser iguales con signos opuestos, ya que los productos de la reacción no contienen potencial químico,

$$\mu_+ + \mu_- = 0, \quad z_+ z_- = 1 \tag{2.42}$$

Los números de partículas N_+ y N_- no son independientes uno de otro, y por lo tanto no hay dos fugacidades independientes, sino en realidad solo uno. Sin embargo, en vez de N_+ y N_- uno puede fijar la diferencia $N = N_+ - N_-$, el excedente de partículas, yaa que no está influenciada por los procesos de creación y aniquilación:

$$\begin{aligned}
 N &= N_+ - N_- \\
 &= \sum_{\epsilon_+ > 0} \frac{1}{\xi_+^{-1} e^{\beta \epsilon_+} + 1} - \sum_{\epsilon_- > 0} \frac{1}{\xi_-^{-1} e^{\beta \epsilon_-} + 1}
 \end{aligned} \tag{2.43}$$

A partir de esta ecuación, uno determina la fugacidad tomando en cuenta la ecuación (2.42). En este sistema, el excedente N de partículas no cambia por creación-aniquilación, pero el número de partículas medio N_+ y N_- no puede ser controlado.



Para explicar lo anterior, tenemos que considerar el espectro de energía de la ecuación libre de Dirac. En el caso ultra-relativista, $m \rightarrow 0$. En este espectro también hay estados de energía $\epsilon \leq -mc^2$ además de los estados de energía positiva $\epsilon \geq mc^2$. Uno puede describir ahora partículas y antipartículas en el espectro simultáneamente, si uno asume que en el vacío, sin partículas, todos los estados de energía negativa continua están ocupadas por electrones (inobservables).

Figure 2.1: $\langle n_k \rangle$ para un gas de electrones a $T = 0$



En esta imagen de partículas (como son los electrones), en el continuo negativo (agujeros) son interpretados como antipartículas.

Para un gas de electrones con N_+ electrones y una energía de Fermi $\epsilon_{FD} > mc^2$ tenemos en $T = 0$ la situación de la figura 2.1.

Si se aumenta la temperatura del gas de electrones, al principio, los electrones cerca de la energía de Fermi son excitados a estados más altos $\epsilon > \epsilon_{FD}$. Esto ocurre en un rango de energía de anchura aproximada kT alrededor de la energía de Fermi.

Sin embargo, si la temperatura es del orden de $2mc^2$, más y más electrones de un continuo más bajo pueden ser excitados en estados libres $\epsilon > \epsilon_{FD}$. Estos electrones dejan huecos en el continuo más bajo, que representan positrones observables. El número de electrones observables también se incrementa. La diferencia $N_+ - N_-$ sin embargo es la misma que antes. La energía negativa de los huecos $\epsilon_{\text{huecos}} < -mc^2$ es simplemente relacionada a la energía positiva del positrón correspondiente como $\epsilon_{e^+} = -\epsilon_{\text{hueco}}$.

El número de electrones y positrones observables puede ser calculado como sigue:

$$N_+ = \sum_{\epsilon > 0} \langle n_k \rangle, \quad N_- = \sum_{\epsilon < 0} (1 - \langle n_k \rangle) \quad (2.44)$$

donde $\langle n_k \rangle$ está dado por (2.39) y $\mu = \mu_+$ como el potencial químico de los electrones (partículas). La expresión para N_- puede ser transformada como

$$\begin{aligned} N_- &= \sum_{\epsilon < 0} \left(1 - \frac{1}{\xi^{-1} e^{\beta\epsilon} + 1} \right) \\ &= \sum_{\epsilon < 0} \frac{\xi^{-1} e^{\beta\epsilon}}{\xi^{-1} e^{\beta\epsilon} + 1} \\ &= \sum_{\epsilon < 0} \frac{1}{\xi e^{-\beta\epsilon} + 1} \end{aligned} \quad (2.45)$$

El espectro de energía de la ecuación libre de Dirac es simétrica alrededor de $\epsilon = 0$. Así, uno puede sustituir $\epsilon \rightarrow -\epsilon_-$ en (2.45) y entonces consideramos positrones con energía positiva.

$$N_- = \sum_{\epsilon_- > 0} \frac{1}{\xi e^{\beta\epsilon_-} + 1} \quad (2.46)$$

Y por otro lado $\xi = \xi_-^{-1}$; es decir, $\mu_+ = -\mu_-$. Ambas interpretaciones llevan a los mismos resultados, pero en algunos casos, la imagen de partícula-hueco de Dirac es más conveniente. Por ejemplo, el exceso de partículas en esta imagen es simplemente

$$\begin{aligned} N &= N_+ - N_- = \sum_{\epsilon > 0} \langle n_\epsilon \rangle - \sum_{\epsilon < 0} (1 - \langle n_\epsilon \rangle) \\ &= \sum_{\epsilon} \langle n_\epsilon \rangle - \sum_{\epsilon < 0} 1 = \sum_{\epsilon} \langle n_\epsilon \rangle - \sum_{\epsilon} \langle n_\epsilon \rangle^{\text{vac}} \end{aligned} \quad (2.47)$$

Ahora procedemos con el cálculo de la presión. Tenemos que reescribir las sumas en la ecuación (2.43)

$$g(\epsilon) = g \frac{4\pi V}{h^3 c^3} \epsilon^2 \quad (2.48)$$

$$\ln \mathcal{Z} = g \frac{4\pi V}{h^3 c^3} \int_0^\infty \epsilon^2 d\epsilon \left[\ln \left(1 + e^{-\beta(\epsilon - \mu)} \right) + \ln \left(1 + e^{-\beta(\epsilon + \mu)} \right) \right] \quad (2.49)$$



de esta manera, podemos reescribir el número total de partículas

$$N = \frac{4\pi V}{(hc)^3} \left[\int_0^\infty \frac{\epsilon^2 d\epsilon}{e^{\beta(\epsilon-\mu)} + 1} - \int_0^\infty \frac{\epsilon^2 d\epsilon}{e^{\beta(\epsilon+\mu)} + 1} \right] \quad (2.50)$$

Para la primera integral se hace el cambio de variable $x = \beta(\epsilon - \mu)$ por lo que $\epsilon = \frac{x}{\beta} + \mu$ y $d\epsilon = \frac{dx}{\beta}$. Para la segunda, se hace $y = \beta(\epsilon + \mu)$ por lo que $\epsilon = \frac{y}{\beta} - \mu$ y $d\epsilon = \frac{dy}{\beta}$. Y haciendo los respectivos cambios en los límites de integración, se obtiene

$$N = \frac{4\pi V}{(hc)^3} \frac{1}{\beta} \left[\int_{-\beta\mu}^\infty \frac{(\frac{x}{\beta} + \mu)^2}{e^x + 1} dx - \int_{\beta\mu}^\infty \frac{(\frac{y}{\beta} - \mu)^2}{e^y + 1} dy \right] \quad (2.51)$$

Factorizando el término β en los numeradores de (2.51) y reacomodando los límites de integración, podemos reescribir

$$\begin{aligned} N &= \frac{4\pi V}{(hc)^3} \frac{1}{\beta^3} \left[\int_{-\beta\mu}^\infty \frac{(x + \beta\mu)^2}{e^x + 1} dx - \int_{\beta\mu}^\infty \frac{(y - \beta\mu)^2}{e^y + 1} dy \right] \\ &= \frac{4\pi V}{(hc)^3} \frac{1}{\beta^3} \left[\int_{-\beta\mu}^0 \frac{(x + \beta\mu)^2}{e^x + 1} dx + \int_0^\infty \frac{(x + \beta\mu)^2}{e^x + 1} dx \right. \\ &\quad \left. - \int_{\beta\mu}^0 \frac{(y - \beta\mu)^2}{e^y + 1} dy - \int_0^\infty \frac{(y - \beta\mu)^2}{e^y + 1} dy \right] \end{aligned} \quad (2.52)$$

Juntando las integrales que van de cero a infinito en (2.52), y reemplazando $y \rightarrow x$, se tiene

$$\begin{aligned} \int_0^\infty \frac{(x + \beta\mu)^2}{e^x + 1} dx - \int_0^\infty \frac{(y - \beta\mu)^2}{e^y + 1} dy &= \int_0^\infty \frac{(x + \beta\mu)^2 - (x - \beta\mu)^2}{e^x + 1} dx \\ &= 4\beta\mu \int_0^\infty \frac{x}{e^x + 1} dx. \end{aligned} \quad (2.53)$$

Podemos juntar el resto de las integrales si trabajamos una de ellas con un cambio de variable para ajustar los límites integrales a los mismos $y \rightarrow -x$, como

$$\begin{aligned} - \int_{\beta\mu}^0 \frac{(y - \beta\mu)^2}{e^y + 1} dy &= \int_0^{\beta\mu} \frac{(y - \beta\mu)^2}{e^y + 1} dy \\ &= - \int_0^{-\beta\mu} \frac{(-x - \beta\mu)^2}{e^{-x} + 1} dx \\ &= \int_{-\beta\mu}^0 \frac{(x + \beta\mu)^2}{e^{-x} + 1} dx \end{aligned} \quad (2.54)$$

Y de esta manera

$$\begin{aligned} \int_{-\beta\mu}^0 \frac{(x + \beta\mu)^2}{e^x + 1} dx - \int_{\beta\mu}^0 \frac{(y - \beta\mu)^2}{e^y + 1} dy &= \int_{-\beta\mu}^0 \frac{(x + \beta\mu)^2}{e^x + 1} dx + \int_{-\beta\mu}^0 \frac{(x + \beta\mu)^2}{e^{-x} + 1} dx \\ &= \int_{-\beta\mu}^0 (x + \beta\mu)^2 \left[\frac{1}{e^x + 1} + \frac{1}{e^{-x} + 1} \right] dx \\ &= \int_{-\beta\mu}^0 (x + \beta\mu)^2 dx \end{aligned} \quad (2.55)$$

Dado que en el paréntesis cuadrado de (2.55), al multiplicar por e^x el segundo término, se llega a que los dos términos dentro del paréntesis dan la unidad. De esta manera, el número de partículas, sustituyendo (2.53) y (2.55) en (2.52)



$$N = \frac{4\pi V}{(hc)^3} \frac{1}{\beta^3} \left[4\beta\mu \int_0^\infty \frac{x}{e^x + 1} dx + \int_{-\beta\mu}^0 (x + \beta\mu)^2 dx \right] \quad (2.56)$$

Haciendo el cambio de variable $z = x + \beta\mu$ en la última integral se obtiene

$$N = \frac{4\pi V}{(hc)^3} \frac{1}{\beta^3} \left[4\beta\mu \int_0^\infty \frac{x}{e^x + 1} dx + \int_0^{\beta\mu} z^2 dz \right] \quad (2.57)$$

Y de manera análoga a lo que es la función (2.17), tenemos las funciones especiales $f_n(\xi)$ con $0 \leq \xi \leq 1$:

$$f_n(\xi) = \frac{1}{\Gamma(n)} \int_0^\infty \frac{x^{n-1} dx}{\xi^{-1} e^x + 1} \quad (2.58)$$

Entonces la primera integral de (2.57) se vuelve

$$\int_0^\infty \frac{x}{e^x + 1} dx = \Gamma(2) f_2(1) = f_2(1) \quad (2.59)$$

Por último, las funciones $f_n(\xi)$ cumplen con la propiedad:

$$f_n(1) = \left(1 - \frac{1}{2^{n-1}} \right) \zeta(n) \quad (2.60)$$

Usando la ecuación (2.60) y que $\zeta(2) = \frac{\pi^2}{6}$ en la primera integral de (2.57), se obtiene

$$\int_0^\infty \frac{x}{e^x + 1} dx = \frac{\pi^2}{12} \quad (2.61)$$

Y para la segunda integral, se obtiene simplemente

$$\int_0^{\beta\mu} z^2 dz = \frac{(\beta\mu)^3}{3} \quad (2.62)$$

Sustituyendo (2.61) y (2.62) en (2.57) se llega a la expresión

$$\begin{aligned} N &= \frac{4\pi V}{(hc)^3} \frac{1}{\beta^3} \left[4\beta\mu \frac{\pi^2}{12} + \frac{(\beta\mu)^3}{3} \right] \\ &= 4\pi V \left(\frac{kT}{hc} \right)^3 \left[\frac{\pi^2}{3} \left(\frac{\mu}{kT} \right) + \frac{1}{3} \left(\frac{\mu}{kT} \right)^3 \right] \end{aligned} \quad (2.63)$$

Y ahora, analógamente con el gas ideal de BE, la expresión se reescribe en unidades naturales usando $c = \hbar = k = 1$ y $h = 2\pi$, y se agrega el factor de degeneración de los quarks g_Q

$$N_Q = \frac{g_Q}{6} \left[\frac{\mu}{T} + \frac{1}{\pi^2} \left(\frac{\mu}{T} \right)^3 \right] VT^3 \quad (2.64)$$

El factor de degeneración de los quarks se compone del producto del número de proyecciones de espín (N_s), el número de colores, N_c , y el número de sabores, N_f , a consideración $g_G = N_s N_c N_f$. Para este caso, se tienen $N_s = 2$ proyecciones de espín, $N_c = 3$ colores y $N_f = 2$ sabores, u y d , dado que bajo este esquema, analizamos materia nuclear ordinaria. Por tanto $g_Q = 12$.

Para calcular la contribución de los quarks y antiquarks a la energía del sistema, se considera

$$E = E_+ + E_- = \sum_{\epsilon_+ > 0} \langle n_{\epsilon_+} \rangle \epsilon_+ + \sum_{\epsilon_- > 0} \langle n_{\epsilon_-} \rangle \epsilon_- \quad (2.65)$$

donde E_+ es la energía de los quarks y E_- de los antiquarks. Usando la ecuación (2.39), y la relación entre las fugacidades explicada con anterioridad (2.42), podemos establecer que

$$\begin{aligned} E &= \sum_{\epsilon_+ > 0} \frac{\epsilon_+}{e^{\beta(\epsilon_+ - \mu)} + 1} + \sum_{\epsilon_- > 0} \frac{\epsilon_-}{e^{\beta(\epsilon_- + \mu)} + 1} \\ &\Rightarrow \frac{4\pi V}{(hc)^3} \left[\int_0^\infty \frac{\epsilon^3 d\epsilon}{e^{\beta(\epsilon - \mu)} + 1} + \int_0^\infty \frac{\epsilon^3 d\epsilon}{e^{\beta(\epsilon + \mu)} + 1} \right] \end{aligned} \quad (2.66)$$

Donde se ha usado el número total de estados en el espacio fase clásico (2.10). A partir de aquí, se procede a hacer el mismo procedimiento que para el cálculo del número total de partículas para resolver las integrales (2.66), de lo que se llega fácilmente a que

$$\begin{aligned} E &= \frac{4\pi V}{(hc)^3} \frac{1}{\beta^4} \left[2 \int_0^\infty \frac{x^3}{e^x + 1} dx + 6(\beta\mu)^2 \int_0^\infty \frac{x}{e^x + 1} dx + \int_{-\beta\mu}^0 (x + \beta\mu)^3 dx \right] \\ &= \frac{4\pi V}{(hc)^3} \frac{1}{\beta^4} \left[2 \int_0^\infty \frac{x^3}{e^x + 1} dx + 6(\beta\mu)^2 \int_0^\infty \frac{x}{e^x + 1} dx + \int_0^{\beta\mu} z^3 dz \right] \end{aligned} \quad (2.67)$$

Donde se ha usado el cambio de variable $z = x + \beta\mu$ para la última integral. Para resolver las primeras integrales, hacemos uso de las funciones (2.58)

$$\int_0^\infty \frac{x^3}{e^x + 1} dx = \Gamma(4) f_4(1) = \frac{7\pi^4}{120} \quad (2.68)$$

La segunda integral se obtuvo con anterioridad (2.61), y la tercera se calcula directamente como

$$\int_0^{\beta\mu} z^3 dz = \frac{(\beta\mu)^4}{4} \quad (2.69)$$

Así, sustituyendo las ecuaciones (2.68), (2.61) y (2.69) en (2.67), obtenemos

$$\begin{aligned} E &= \frac{4\pi V}{(hc)^3} \frac{1}{\beta^4} \left[2 \left(\frac{7\pi^4}{120} \right) + 6(\beta\mu)^2 \frac{\pi^2}{12} + \frac{1}{4} (\beta\mu)^4 \right] \\ &= \frac{4\pi V}{(hc)^3} (kT)^4 \left[\frac{7\pi^4}{60} + \frac{\pi^2}{2} \left(\frac{\mu}{kT} \right)^2 + \frac{1}{4} \left(\frac{\mu}{kT} \right)^4 \right] \end{aligned} \quad (2.70)$$

Finalmente, usando unidades naturales como con el número de partículas, y agregando el factor de degeneración, obtenemos la energía del gas de quarks - antiquarks

$$E_Q = g_Q \left[\frac{7\pi^2}{120} + \frac{1}{4} \left(\frac{\mu}{T} \right)^2 + \frac{1}{8\pi^2} \left(\frac{\mu}{T} \right)^4 \right] VT^4 \quad (2.71)$$

Para finalizar el cálculo de cantidades termodinámicas en este modelo, calculamos la presión producida por los quarks y antiquarks de manera análoga como con los gluones. La presión está definida por la ecuación (2.28), entonces para este caso, tenemos la función de partición que está dada como

$$\begin{aligned} \ln \Xi &= \sum_{\epsilon_+} \ln \left(1 + e^{-\beta(\epsilon_+ - \mu)} \right) + \sum_{\epsilon_-} \ln \left(1 + e^{-\beta(\epsilon_- + \mu)} \right) \\ &\Rightarrow \frac{4\pi V}{(hc)^3} \left[\int_0^\infty \epsilon^2 \ln \left(1 + e^{-\beta(\epsilon - \mu)} \right) d\epsilon + \int_0^\infty \epsilon^2 \ln \left(1 + e^{-\beta(\epsilon + \mu)} \right) d\epsilon \right] \end{aligned} \quad (2.72)$$



donde se han reemplazado las sumas por las integrales. Para resolver las integrales, ocupamos integración por partes, para la primera integral tenemos

$$\begin{aligned} \int_0^\infty \epsilon^2 \ln(1 + e^{-\beta(\epsilon-\mu)}) d\epsilon &= \frac{\epsilon^3}{3} \ln(1 + e^{-\beta(\epsilon-\mu)}) \Big|_0^\infty + \frac{\beta}{3} \int_0^\infty \frac{\epsilon^3 d\epsilon}{e^{\beta(\epsilon-\mu)} + 1} \\ &= \frac{\beta}{3} \int_0^\infty \frac{\epsilon^3 d\epsilon}{e^{\beta(\epsilon-\mu)} + 1} \end{aligned} \quad (2.73)$$

En el cual, después de evaluar en los límites en la ecuación (2.73), se llega a que se cancela el primer término. Para la segunda integral de (2.72) se procede similarmente y se obtiene

$$\int_0^\infty \epsilon^2 \ln(1 + e^{-\beta(\epsilon+\mu)}) d\epsilon = \frac{\beta}{3} \int_0^\infty \frac{\epsilon^3 d\epsilon}{e^{\beta(\epsilon+\mu)} + 1} \quad (2.74)$$

Y, sustituyendo las ecuaciones (2.73) y (2.74) en (2.72), obtenemos

$$\ln \Xi = \frac{4\pi V}{(hc)^3} \frac{\beta}{3} \left[\int_0^\infty \frac{\epsilon^3 d\epsilon}{e^{\beta(\epsilon-\mu)} + 1} + \int_0^\infty \frac{\epsilon^3 d\epsilon}{e^{\beta(\epsilon+\mu)} + 1} \right] \quad (2.75)$$

Y, volviendo con la expresión (2.28), podemos reescribirla aprovechando la expresión integral (2.66), para obtener la expresión de presión total de gluones con unidades naturales como

$$P = \frac{1}{3} \frac{E}{V} \quad (2.76)$$

Y sustituyendo para el caso de la energía de quarks E_Q (2.71) en la expresión anterior, obtenemos

$$P_Q = \frac{g_Q}{3} \left[\frac{7\pi^2}{120} + \frac{1}{4} \left(\frac{\mu}{T} \right)^2 \frac{1}{8\pi^2} \left(\frac{\mu}{T} \right)^4 \right] T^4 \quad (2.77)$$

La entropía se puede calcular a partir de una expresión similar a (2.34), la cual es

$$\phi = E - TS - \sum_i \mu_i N_i = -PV \quad (2.78)$$

$$S = \frac{1}{T} \left(E + PV - \sum_i \mu_i N_i \right) \quad (2.79)$$

donde la suma es sobre todas las especies de partículas, en este caso quarks y antiquarks. Por tanto, para el caso del gas de Fermi, tenemos

$$\begin{aligned} S &= \frac{1}{T} (E + PV - \mu_+ N_+ - \mu_- N_-) \\ &= \frac{1}{T} (E + PV - \mu V) \\ &= \frac{4}{3} \frac{E}{T} - \mu \frac{N}{T} \end{aligned} \quad (2.80)$$

donde se ha usado el hecho de que $\mu_+ = \mu$ y $\mu_- = -\mu$. Y sustituyendo las ecuaciones (2.71) y (2.64) en (2.80), obtenemos la entropía de los quarks

$$S_Q = g_Q \left[\frac{7\pi^2}{90} + \frac{1}{6} \left(\frac{\mu}{T} \right)^2 \right] VT^3 \quad (2.81)$$

donde se ha considerado el factor de degeneración $g_Q = 12$ correspondiente de este gas de quarks.



2.3. El protón en el modelo de Tsallis

2.3.1. La entropía en el modelo de Tsallis

Consideramos protones como un gas de quarks y gluones. En esta formulación de sistemas no extensivos con dos componentes. La correlación entre las dos especies son representadas por el valor del parámetro de Tsallis q . La entropía no extensiva para un sistema constituido de dos subsistemas A y B está dada por la ecuación (2.3). En este caso, los subsistemas son los dos gases constituidos de quarks (Q) y gluones (G), donde el gas de quarks es una mezcla conjunta de quarks y antiquarks como se ha explicado en la sección 2.2.2. Con todo esto en consideración, la entropía del protón está dada, considerando unidades naturales, como

$$S_q(Q + G) = S_q(Q) + S_q(G) + (1 - q)S_q(Q)S_q(G) \quad (2.82)$$

donde $S_q(Q)$ representa la entropía de Tsallis de los quarks, $S_q(G)$ es la entropía de Tsallis de los gluones y $S_q(Q + G)$ es la entropía del sistema conjunto, considerando que el último término, ese con el factor de Tsallis q , es el que contiene toda la información de la interacción de los subsistemas (las autointeracciones se excluyen en esta primera aproximación).

La interacción fuerte entre los subsistemas debe tener efectos sobre las propiedades físicas del sistema quark-gluon. Las correlaciones deben modificar el comportamiento de las propiedades termodinámicas. Ello conlleva a cambiar la forma de calcular estas propiedades. Es así que, en analogía con la entropía de Tsallis para dos subsistemas probabilísticamente independientes, proponemos la entropía del sistema como

$$S_q(Q + G) = S_1(Q) + S_1(G) + (1 - q)S_1(Q)S_1(G) \quad (2.83)$$

donde, como podrá notarse, se ha hecho que ambos subsistemas se consideran como esos de BG convencional, esto equivale a excluir la interacción dentro de cada subsistema, de tal manera que el parámetro q de Tsallis es el que introduce toda la interacción entre los subsistemas en el término cruzado de (2.83). Así, cuando $q = 1$ en (2.83), se recuperará la entropía total correspondiente a la suma de las ecuaciones (2.36) y (2.81)

$$\begin{aligned} S_{Q+G} &= S_Q + S_G \\ &= g_Q \left[\frac{7\pi^2}{90} + \frac{1}{6} \left(\frac{\mu}{T} \right)^2 \right] VT^3 + 4g_G \frac{\pi^2}{90} VT^3 \\ &= \left[\frac{74\pi^2}{45} + 2 \left(\frac{\mu}{T} \right)^2 \right] VT^3 \end{aligned} \quad (2.84)$$

Donde la última igualdad de (2.84), se obtiene al sustituir los valores de los factores de degeneración correspondientes de quarks y gluones. Cabe notar que S_{Q+G} corresponderá igualmente a la entropía en un marco de BG.

De esta manera, podemos reescribir la ecuación (2.83) como

$$S_q = S_Q + S_G + (1 - q)S_Q S_G \quad (2.85)$$

donde las entropías de los subsistemas de quarks y de gluones ya se han definido por las ecuaciones (2.36) y (2.81) así que

$$\begin{aligned} S_q &= g_Q \left[\frac{7\pi^2}{90} + \frac{1}{6} \left(\frac{\mu}{T} \right)^2 \right] VT^3 + 4g_G \frac{\pi^2}{90} VT^3 \\ &\quad + (1 - q) g_Q g_G \frac{4\pi^2}{90} \left[\frac{7\pi^2}{90} + \frac{1}{6} \left(\frac{\mu}{T} \right)^2 \right] V^2 T^6 \end{aligned} \quad (2.86)$$



Luego de reordenar y sustituir los factores de degeneración se llega a que

$$S_q = \left[\frac{74\pi^2}{45} + 2 \left(\frac{\mu}{T} \right)^2 \right] VT^3 + \frac{128\pi^2}{15} (1-q) \left[\frac{7\pi^2}{90} + \frac{1}{6} \left(\frac{\mu}{T} \right)^2 \right] V^2 T^6 \quad (2.87)$$

De donde fácilmente se puede comprobar que cuando $q = 1$, devolvemos a la expresión (2.84)

2.3.2. La presión en el modelo de Tsallis

Partimos de la relación de Maxwell

$$\left. \frac{\partial S_q}{\partial V} \right|_{V,\mu} = \left. \frac{\partial P_q}{\partial T} \right|_{V,\mu} \quad (2.88)$$

Donde se ha considerado que el volumen y la temperatura se mantienen como cantidades extensivas, pero la entropía ni la presión son extensivas, es decir, podemos aplicarles estadística de Tsallis. Así, derivando (2.87) con respecto de V , se obtiene

$$\begin{aligned} \left. \frac{\partial S_q}{\partial V} \right|_{V,\mu} &= [7g_Q + 4g_G] \frac{\pi^2}{90} T^3 + \frac{1}{6} g_Q \left(\frac{\mu}{T} \right)^2 T^3 \\ &+ \frac{8\pi^2}{90} g_Q g_G (1-q) \left[\frac{\pi^2}{90} + \frac{1}{6} \left(\frac{\mu}{T} \right)^2 \right] VT^6 \end{aligned} \quad (2.89)$$

Considerando que la expresión anterior cumple con la relación de Maxwell (2.88), podemos hallar la presión de Tsallis P_q , integrando la expresión anterior con respecto a la temperatura, T , y así obtenemos

$$\begin{aligned} P_q &= \left[\frac{7}{4} g_Q + g_G \right] \frac{\pi^2}{90} T^4 + \frac{1}{12} g_Q \left[\frac{\mu}{T} \right]^2 T^4 \\ &+ \frac{8\pi^2}{90} g_Q g_G (1-q) \left[\frac{\pi^2}{90} + \frac{1}{30} \left(\frac{\mu}{T} \right)^2 \right] VT^7 + C(V, \mu, q). \end{aligned} \quad (2.90)$$

Ya que el parámetro $q \neq 1$ de alguna forma incluye las interacciones entre los quarks y los gluones, para $q = 1$ se debe cumplir que $P_{q=1} = P_Q + P_G$. Esta condición se utiliza para determinar la constante de integración $C(V, \mu, q)$. Por lo tanto, para $q = 1$ se debería cumplir que, usando las ecuaciones (2.33) y (2.77)

$$\begin{aligned} P_{q=1} &= P_Q + P_G \\ &= \frac{g_Q}{3} \left[\frac{7\pi^2}{120} + \frac{1}{4} \left(\frac{\mu}{T} \right)^2 \frac{1}{8\pi^2} \left(\frac{\mu}{T} \right)^4 \right] T^4 + g_G \frac{\pi^2}{90} T^4 \\ &= \left[\frac{37\pi^2}{90} + \left(\frac{\mu}{T} \right)^2 + \frac{1}{2\pi^2} \left(\frac{\mu}{T} \right)^4 \right] T^4 \\ &= \left[\frac{7}{4} g_Q + g_G \right] \frac{\pi^2}{90} T^4 + \frac{1}{12} g_Q \left[\frac{\mu}{T} \right]^2 T^4 + C(V, \mu, q). \end{aligned} \quad (2.91)$$

Tal, que al despejar la constante de integración de la expresión anterior, podemos encontrar que

$$C(V, \mu, q) = \frac{1}{3} g_Q \left[\frac{1}{8\pi^2} \mu^4 \right] \quad (2.92)$$

Y sustituyendo en (2.90), llegamos a que



$$P_q = \left[\frac{7}{4} g_Q + g_G \right] \frac{\pi^2}{90} T^4 + \frac{1}{3} g_Q \left[\frac{1}{4} \left(\frac{\mu}{T} \right)^2 + \frac{1}{8\pi^2} \left(\frac{\mu}{T} \right)^4 \right] T^4 + \frac{8\pi^2}{90} g_Q g_G (1 - q) \left[\frac{\pi^2}{90} + \frac{1}{30} \left(\frac{\mu}{T} \right)^2 \right] VT^7 \quad (2.93)$$

Y sustituyendo los valores de los factores de degeneración, se llega a que la presión en la estadística de Tsallis de un sistema de quarks y gluones está dada como

$$P_q = \left[\frac{37\pi^2}{90} + \left(\frac{\mu}{T} \right)^2 + \frac{1}{2\pi^2} \left(\frac{\mu}{T} \right)^4 \right] T^4 + \frac{256\pi^2}{15} (1 - q) \left[\frac{\pi^2}{90} + \frac{1}{30} \left(\frac{\mu}{T} \right)^2 \right] VT^7 \quad (2.94)$$

De donde es fácil corroborar que, viendo la tercera línea de (2.91), se cumple para el caso trivial $q = 1$.

CAPÍTULO

3

CARACTERÍSTICAS DE ESTRUCTURA DEL PROTÓN

El protón, al ser considerado compuesto por quarks y gluones independientes entre sí, puede separar sus contribuciones energéticas por cada una de las partes. El [BM](#) describe a los quarks como siendo confinados dentro del hadrón. Aunque hay varias versiones del modelo de bolsa, la característica principal es la fenomenología de confinamiento de quarks. Los gluones son bosones mediadores que transfieren las interacciones entre quarks. Como ya hemos detallado en la sección [2.2](#), la energía y el número total de partículas para un sistema de quarks y gluones sin masa dentro de un hadrón están dadas por

$$N = N_Q + N_G = \frac{16\zeta(3)}{\pi^2} VT^3 \quad (3.1)$$

$$E = E_Q + E_G = \frac{37}{30} \pi^2 VT^4. \quad (3.2)$$

Tomando la masa de un nucleón como la energía total $E_t = M$, y siendo este como un sistema local en equilibrio térmico y despreciando el potencial químico, podemos calcular los cambios de temperatura con el radio del protón. De acuerdo con [Some characteristic parameters], se tiene una fórmula simulada numéricamente para la temperatura en función de la distancia al centro del protón, r , como

$$T = 0.109 \left[\frac{\text{GeV}}{\text{fm}} \right] r^{-3/4}, \quad (r \text{ en fm}) \quad (3.3)$$

A alrededor de 1 fm, la temperatura es alrededor de 105 MeV. Cuando el radio de un protón es menor de 0.6 fm, la temperatura probablemente

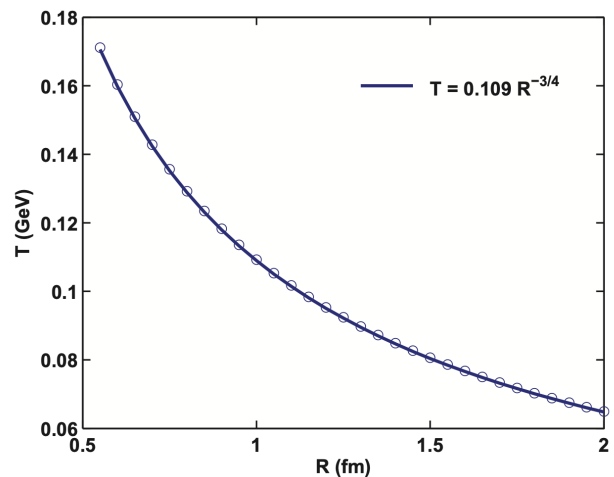


Figure 3.1: Ajuste realizado a una simulación numérica de la temperatura dentro del protón como función del radio

será aproximada a 170 MeV, cercana a la temperatura crítica a la que el hadron se rompe a quarks.

Como vimos antes, en el capítulo 1, las soluciones a la ecuación (1.8), nos dan los límites de los radios de los hadrones considerando la relación $\omega_{n\kappa} = p_{n\kappa}R$, tenemos que para el estado más bajo accesible del sistema (que notaremos como $\omega_{1-1} = \omega_0 = 2.04$) y así para un protón, tenemos que la máxima energía cinética accesible para los quarks y gluones en el interior está dado por

$$p_{0m} = \frac{2.04}{R} \quad (3.4)$$

Si tomamos p_{0m} como el límite superior, podemos separar la energía de quarks del total de un protón

$$E_Q = \frac{(g_Q + g_{\bar{Q}})V}{2\pi^2\hbar^3} \int_0^{p_{0m}} \frac{p^3 dp}{1 + e^{p/T(r)}} \quad (3.5)$$

Por simplicidad, despreciamos el potencial químico, $\mu = 0$, tratamos los quarks como sin masa y $g_Q = g_{\bar{Q}} = N_c N_s N_f = 3 \times 2 \times 2 = 12$, con N_c es el número de colores (3 colores disponibles), N_s el número de espín (2 espines accesibles), y N_f es el número de sabores (2 por ser *up* y *down*).

La energía de contribución de gluones proporciona el efecto de presión dirigido desde fuera de la bolsa dada por

$$B = \frac{E_t - E_Q}{V} \quad (3.6)$$

Existen dos posibles escenarios como se muestra en la figura 3.2, el volumen del gas de gluones es ya sea $\frac{4\pi}{3}R^3$ o $\frac{4\pi}{3}R_i^3$.

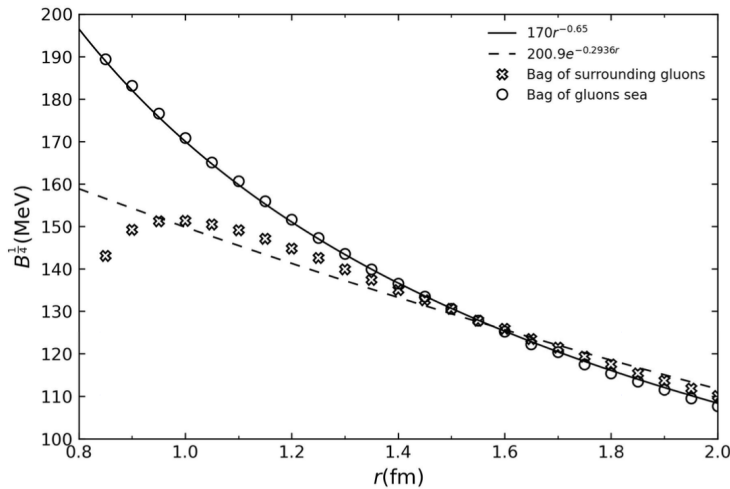


Figure 3.3: Ajuste realizado a una simulación numérica de la presión de bolsa dentro del protón como función del radio. Tenemos dos posibles escenarios: El primero (representado por las cruces) considera a los quarks rodeados por un mar de gluones, mientras que el segundo (círculos) considera a los quarks en un mar de gluones. []

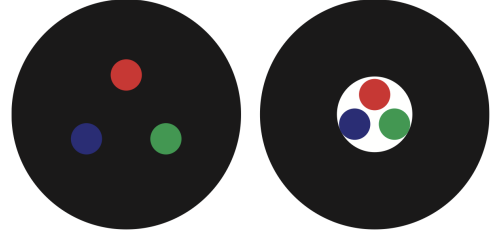


Figure 3.2: Tenemos dos posibilidades, i) que los quarks estén inmersos en un mar de gluones (izquierda) o ii) que los quarks estén **rodeados** por un mar de gluones (derecha)

A partir del hecho de que la presión de bolsa depende del volumen de la misma, podemos pensar que la presión de bolsa cambiara con el radio (como se muestra en la figura (3.3)). Se pueden obtener los ajustes a ambos casos (el ajuste polinomial es el que mejor coeficiente de correlación obtiene para el caso de un mar de gluones),

$$B^{1/4} = 0.17 \left[\frac{GeV}{fm} \right] r^{-0.65} \quad (3.7)$$

o un ajuste exponencial para el segundo caso, gluones rodeando quarks, que obtiene, de entre varios otros ajustes (lineal, exponencial, logarítmico, polinomial) el mejor coeficiente de correlación

$$B^{1/4} = 0.201 e^{-0.293 \left[\frac{1}{f_m} \right] r} [GeV] \quad (3.8)$$

Como una primera aproximación, usamos una presión de bolsa que es finita al centro del hadron y se desvanece a grandes distancias. Para este propósito, hemos determinado que una aproximación ajustable para la presión de bolsa es una exponencial de la forma (3.8), esta expresión, contiene el comportamiento que deseamos y esperamos para lo que sucede en el centro del hadrón, que en el centro la presión de la bolsa sea finita pero para grandes distancias se desvanezca.

CAPÍTULO

4

SIGNIFICADO FÍSICO DEL PARÁMETRO Q DE TSALLIS

En el modelo de bolsa, los quarks están confinados en una región por el intercambio de gluones, y el volumen está caracterizado por la presión que previene a los quarks de escapar.

La densidad Lagrangiana puede ser expresada como

$$L_{\text{bag}} = (L_{\text{QCD}} - B) \theta_V \quad (4.1)$$

donde θ_V es la función paso definiendo el interior de la bolsa que contiene quarks y gluones. Tiene valor nulo fuera de esta región.

El modelo describe la interacción entre quarks y gluone a pequeñas escalas, reflejando la libertad asintótica del QCD. A mayores escalas, sobre el orden de 1 fermi, los quarks y gluones se vuelven confinados a estados ligados de color neutro. La presión de bolsa, denotada por B , representa la densidad de energía asociada con fluctuaciones de vacío de los campos QCD dentro de la bolsa.

En el análisis presentado aquí, no asumimos la presión de bolsa constante a través de la región. El concepto de presión de bolsa es de alguna forma, artificial. Se introduce como un parámetro fenomenológico para describir confinamiento y se entiende como la energía por unidad de volumen de las fluctuaciones de vacío dentro de la bolsa. Podemos conceptualizar el mecanismo como un mar de gluones empujando a los quarks o como un mar de quarks y gluones interactuando.

Ahora, exploramos una razón fundamental para la existencia de la presión de bolsa y encontramos que introduciendo una correlación determinada por el q parámetro proporciona la posibilidad de eliminar la presión de bolsa B de las ecuaciones. Así, podemos entender al confinamiento sin introducir artificialmente un parámetro de presión de bolsa.

El parámetro de Tsallis q aparece encapsular la física involucrada en confinamiento como lo hace la presión de bolsa. Podemos omitir la presión de bolsa de este modelo considerando que a un dado q_0 (parámetro de Tsallis inicial), la presión de bolsa puede ser expresada para un sistema hadrónico general.

$$P_{q_0}(T, \mu) - B(r) \rightarrow P_q(T, \mu) \quad (4.2)$$

Donde q es el parámetro de Tsallis que describe la correlación, q_0 considera para la presión total estimada dentro de los nucleones arriba, con las condiciones iniciales dadas. Después de la extracción

a partir de los datos q_0 está fija. De esta manera, vemos que el parámetro de Tsallis puede recrear la presión de bolsa en tal forma que B no se necesita más. Después de algo de álgebra, uno puede obtener una relación entre ambos parámetros de Tsallis y la presión de bolsa como sigue

$$q = q_0 + \frac{B(r)}{\frac{256\pi^2}{15} \left[\frac{\pi^2}{90} + \frac{1}{30} \left(\frac{\mu}{T} \right)^2 \right] VT^7} \quad (4.3)$$

El parámetro de Tsallis se vuelve dependiente del radio debido a su relación con r de la presión de bolsa. La posibilidad de desarrollar un modelo de bolsa de hadrones sin la necesidad de una presión de bolsa será explorada en trabajo futuro. Actualmente, hemos notado que la correlación que surge de los sistemas de quarks y gluones como componentes de nucleones representan la presión de bolsa.

CAPÍTULO

5

DISTRIBUCIÓN DE PRESIÓN TOTAL Y PRESIÓN DE GLUONES

La distribución de presión total está dada por

$$P_q = \left[\frac{7}{4}g_Q + g_G \right] \frac{\pi^2}{90} T^4 + \frac{1}{12}g_Q \left[\frac{\mu}{T} \right]^2 T^4 + \frac{8\pi^2}{90}g_Q g_G (1-q) \left[\frac{\pi^2}{90} + \frac{1}{30} \left(\frac{\mu}{T} \right)^2 \right] VT^7 + C(V, \mu, q) \quad (5.1)$$

con $C(V, \mu, q) = \frac{1}{2\pi^2}\mu^4$, donde para $q = 1$ se recupera la presión total convencional de BG es debido a los quarks y gluones y puede ser visto en la figura 5.1. La presión está dada como una función del radio para varios potenciales químicos a parámetro q fijo. Si se incrementa la densidad de las partículas a una temperatura dada, los hadrones eventualmente se “romperán”, es decir, resultará en deconfinamiento. Esto pasa a densidades de aproximadamente $0.72/\text{fm}^3$ o potenciales químicos por sobre el orden de 430MeV[Referencia 35]. A altas temperaturas, la transición de fase sería alcanzable en densidades más bajas

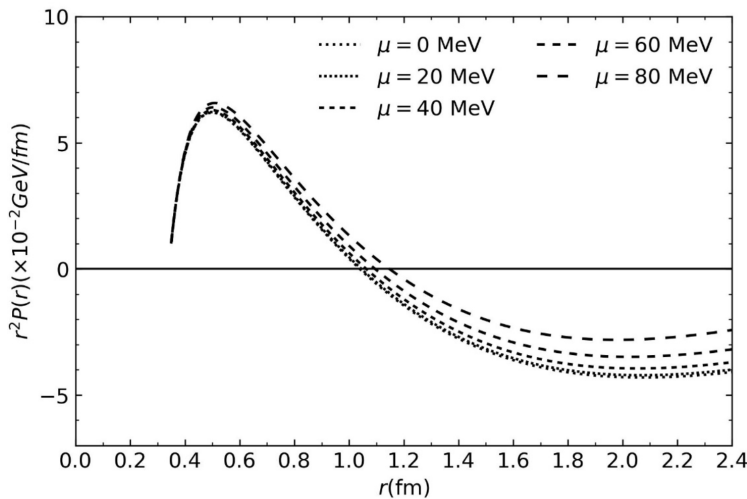


Figure 5.1: *Distribución de presión radial en el protón contra la distancia radial desde el centro para distintos potenciales químicos. El parámetro de Tsallis usado fue $q = 1.05$.*

Las distribuciones estimadas muestra una presión repulsiva debajo de 1 fermi y luego una presión confinante por encima de esa distancia desde el centro del protón

La distribución de presión que resulta de las interacciones de los quarks en el protón contra la distancia radial desde el centro del protón fue obtenida en [referencia de nature]. usando datos experimentales. Una presión repulsiva fuerte cerca del centro del protón se desvanece a una distancia radial de aproximadamente 0.6fm. Más allá de esa distancia, la presión de ligadura aparece. En ambos casos, el pico de presión promedio extraído cerca del centro es extremadamente alto.

En [26], la distribución de presión de quarks dentro del protón es obtenida considerando un sistema quark aislado sin interacciones de gluones, encontrada

usando **Gravitational form factors (GFF)** usando la expresión para

$$d_1(t) = d_1(0) \left(1 - \frac{t}{M^2}\right)^{-\alpha} \quad (5.2)$$

que viene de la expansión de Gegengabauer del término D (uno de los **GFF**)

$$D(z, t) = \left(1 - z^2\right) \left[d_1(t) C_1^{3/2}(z) + \dots \right] \quad (5.3)$$

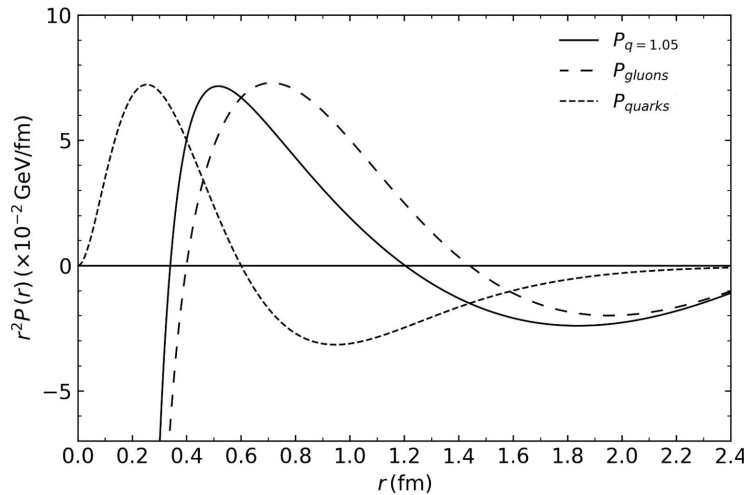
Donde, $d_1(t)$ está relacionado con la distribución de presión $p(r)$ por medio de la integral esférica de Bessel

$$d_1(t) \propto \int \frac{j_0(r\sqrt{-t})}{2t} p(r) d^3r, \quad (5.4)$$

donde j_0 es la primera función de Bessel esférica. A partir de (5.4), podemos encontrar la distribución de presión $p(r)$ de quarks en términos de $d_1(t)$. La presión está dada por

$$\begin{aligned} p(r) &= -\frac{1}{k_p \pi^2} \int_0^\infty x^4 j_0(rx) d_1(-x^2) dx \\ &= \frac{M^6 d_0}{16\pi \|M\| k_p} e^{-\|M\| r} (-3 + r \|M\|) \end{aligned} \quad (5.5)$$

donde k_p es la constante de proporcionalidad en (5.4), el parámetro $\alpha = 3$ y la constante $d_0 = d_1(0) = -2.04$ están dadas en [nature], mientras que la constante de proporcionalidad $k_p = 55$ y $\|M\| = 5$ son propuestos para reproducir los resultados de [Nature]



El perfil resultante se muestra en la figura 5.2. Usamos esta distribución de presión de quarks para estimar la contribución de los gluones como una subtracción del total mostrado arriba.

Figure 5.2: Extracción de la distribución de presión de gluones a partir del valor central en la referencia [26]. El potencial químic $\mu = 100\text{MeV}$ fue usado para el perfil de la presión total.

CAPÍTULO

6

RESULTADOS Y CONCLUSIONES

La figura 6.1 muestra las distribuciones de presión obtenidas con el [T-MIT bag model](#) junto con las distribuciones de cálculos recientes de [LQCD](#) [33]

$$\frac{d}{dx}(x^3 + x^2 + 1) = x(3x + 2)$$

Como se mencionó arriba, la presión de bolsa y el parámetro q de Tsallis ambos representan aspectos efectivos de la interacción fuerte mediada por quarks y gluones. No tenemos un significado preciso para ellos, pero sí tenemos una relación específica entre el parámetro q y la fenomenología real, como se muestra en la ecuación (4.3). Creemos que la no extensividad del parámetro q tiene alguna conexión con interacciones de largo alcance.

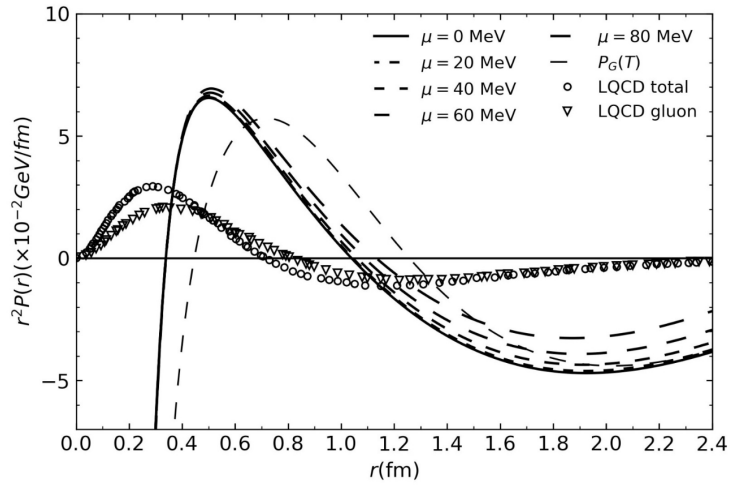


Figure 6.1: Resultados de Lattice QCD a partir de la referencia [33], y esas obtenidas con el modelo modificado MIT bag model.



APÉNDICE

A

APPENDIX ON COLLISIONS

A.1. On collisions

4

(A.1)



APÉNDICE

B

APPENDIX ON COLLISIONS

B.1. On collisions

4

(B.1)



ACRÓNIMOS

BE Bose - Einstein. [10](#), [12](#), [17](#)

BG Boltzmann - Gibbs. [2](#), [3](#), [9](#), [20](#), [29](#)

BM Bag Model. [1](#), [2](#), [23](#)

CFFs Compton Form Factors. [2](#)

DVCS Deep Virtual Compton Scattering. [2](#), [3](#)

FD Fermi - Dirac. [13](#)

GFF Gravitational form factors. [30](#)

GPD Generalized Parton Distributions. [2](#)

LQCD Lattice QCD. [1](#), [2](#), [33](#)

MIT Massachusetts Institute of Technology. [2](#), [6](#)

QCD Quantum Chromodynamics. [1](#), [2](#), [5](#), [6](#)

SLAC Stanford Linear Accelerator Center. [6](#)

T-MIT bag model Tsallis-MIT Bag Model. [2](#), [3](#), [33](#)



GLOSARIO

mathematics Mathematics is what mathematicians do. [1](#)



BIBLIOGRAFÍA

- [1] X. Artru and G. Mennessier. String model and multiproduction. *Nuclear Physics B*, 70(1): 93–115, February 1974. ISSN 0550-3213. doi: [https://doi.org/10.1016/0550-3213\(74\)90360-5](https://doi.org/10.1016/0550-3213(74)90360-5). URL [https://doi.org/10.1016/0550-3213\(74\)90360-5](https://doi.org/10.1016/0550-3213(74)90360-5). [Elsevier].
- [2] B. Andersson, G. Gustafson, and B. Söderberg. A general model for jet fragmentation. *Zeitschrift for Physik C Particles and Fields*, 20(4):317–329, December 1983. ISSN 1434-6052. doi: <https://doi.org/10.1007/BF01407824>. URL <https://doi.org/10.1007/BF01407824>. [Springer].
- [3] P. N. Bogolioubov. Sur un modèle à quarks quasi-indépendants. *Annales de l'institut Henri Poincaré. Section A, Physique Théorique*, 8(2):163–189, 1968. URL http://www.numdam.org/item/AIHPA_1968__8_2_163_0/. [Numdam].
- [4] C E DeTar and J F Donoghue. Bag models of hadrons. *Annual Review of Nuclear and Particle Science*, 33(1):235–264, dec 1983. doi: <https://doi.org/10.1146/annurev.ns.33.120183.001315>. [Annual Reviews].
- [5] Rudolph C. Hwa and M. Sajjad Zahir. Parton and valon distributions in the nucleon. *Physical Review D*, 23(11):2539–2553, June 1981. ISSN 0556-2821. doi: <https://doi.org/10.1103/PhysRevD.23.2539>. [APS].
- [6] Takumi Iritani, Sinya Aoki, Takumi Doi, Faisal Etminan, Shinya Gongyo, Tetsuo Hatsuda, Yoichi Ikeda, Takashi Inoue, Noriyoshi Ishii, Takaya Miyamoto, and Kenji Sasaki. $N\Omega$ dibaryon from lattice qcd near the physical point. *Physics Letters B*, 792:284–289, May 2019. ISSN 0370-2693. doi: <https://doi.org/10.1016/j.physletb.2019.03.050>. [Elsevier].
- [7] Tetsuo Hatsuda, Kenji Morita, Akira Ohnishi, and Kenji Sasaki. $p \Xi^-$ correlation in relativistic heavy ion collisions with nucleon-hyperon interaction from lattice qcd. *Nuclear Physics A*, 967: 856–859, November 2017. ISSN 0375-9474. doi: <https://doi.org/10.1016/j.nuclphysa.2017.04.041>. [Elsevier].
- [8] ALICE Collaboration. Unveiling the strong interaction among hadrons at the lhc. *Nature*, 588(7837):232–238, December 2020. ISSN 1476-4687. doi: <https://doi.org/10.1038/s41586-020-3001-6>. [Nature].



- [9] ALICE Collaboration. Experimental evidence for an attractive p - φ interaction. *Phys. Rev. Lett.*, 127:172301, Oct 2021. doi: 10.1103/PhysRevLett.127.172301. URL <https://link.aps.org/doi/10.1103/PhysRevLett.127.172301>. [APS].
- [10] A. Chodos, R. L. Jaffe, K. Johnson, C. B. Thorn, and V. F. Weisskopf. New extended model of hadrons. *Physical Review D*, 9(12):3471–3495, jun 1974. doi: <https://doi.org/10.1103/PhysRevD.9.3471>. URL <https://doi.org/10.1103/PhysRevD.9.3471>. [APS].
- [11] A. Chodos, R. L. Jaffe, K. Johnson, and C. B. Thorn. Baryon structure in the bag theory. *Physical Review D*, 10(8):2599–2604, oct 1974. doi: doi:10.1103/physrevd.10.2599. [APS].
- [12] Carolina Barboza Mendoza and G. Herrera Corral. Quark matter description in a tsallis entropy approach. *The European Physical Journal A*, 55(9), September 2019. ISSN 1434-601X. doi: <https://doi.org/10.1140/epja/i2019-12834-y>. [Springer].
- [13] Constantino Tsallis. Possible generalization of boltzmann-gibbs statistics. *Journal of Statistical Physics*, 52(1-2):479–487, jul 1988. doi: <https://doi.org/10.1007/BF01016429>. URL <https://doi.org/10.1007/BF01016429>. [Springer].
- [14] C. Beck and E.G.D. Cohen. Superstatistics. *Physica A: Statistical Mechanics and its Applications*, 322:267–275, May 2003. ISSN 0378-4371. doi: [https://doi.org/10.1016/S0378-4371\(03\)00019-0](https://doi.org/10.1016/S0378-4371(03)00019-0). URL [https://doi.org/10.1016/S0378-4371\(03\)00019-0](https://doi.org/10.1016/S0378-4371(03)00019-0). [Elsevier].
- [15] Constantino Tsallis. *Introduction to Nonextensive Statistical Mechanics: Approaching a Complex World*. Springer, 2009. doi: <https://doi.org/10.1007/978-0-387-85359-8>. URL <https://doi.org/10.1007/978-0-387-85359-8>. [Springer].
- [16] Constantino Tsallis and Zochil Gonzalez Arenas. Nonextensive statistical mechanics and high energy physics. *EPJ Web of Conferences*, 71:00132, 2014. ISSN 2100-014X. doi: <https://doi.org/10.1051/epjconf/20147100132>. [EPJ].
- [17] C. Tsallis. Nonadditive entropy: The concept and its use. *The European Physical Journal A*, 40(3), May 2009. ISSN 1434-601X. doi: <https://doi.org/10.1140/epja/i2009-10799-0>. URL <https://doi.org/10.1140/epja/i2009-10799-0>. [Springer].
- [18] I. Bediaga, E.M.F. Curado, and J.M. de Miranda. A nonextensive thermodynamical equilibrium approach in $e^+ e^- \rightarrow$ hadrons. *Physica A: Statistical Mechanics and its Applications*, 286(1–2):156–163, October 2000. ISSN 0378-4371. doi: [https://doi.org/10.1016/S0378-4371\(00\)00368-X](https://doi.org/10.1016/S0378-4371(00)00368-X). URL [https://doi.org/10.1016/S0378-4371\(00\)00368-X](https://doi.org/10.1016/S0378-4371(00)00368-X). [Elsevier].
- [19] TASSO Collaboration. Jet production and fragmentation in $e^+ e^-$ annihilation at 12 to 43 gev. *Zeitschrift für Physik C Particles and Fields*, 22(4):307–340, December 1984. ISSN 1434-6052. doi: <https://doi.org/10.1007/BF01547419>. [Springer].
- [20] CMS Collaboration. Transverse-momentum and pseudorapidity distributions of charged hadrons in pp collisions at $\sqrt{s} = 7$ TeV. *Phys. Rev. Lett.*, 105:022002, Jul 2010. doi: 10.1103/PhysRevLett.105.022002. URL <https://link.aps.org/doi/10.1103/PhysRevLett.105.022002>. [APS].
- [21] L. Marques, J. Cleymans, and A. Deppman. Description of high-energy pp collisions using tsallis thermodynamics: Transverse momentum and rapidity distributions. *Physical Review D*, 91(5):054025, March 2015. ISSN 1550-2368. doi: <https://doi.org/10.1103/PhysRevD.91.054025>. URL <https://doi.org/10.1103/PhysRevD.91.054025>. [APS].

- [22] T Bhattacharyya, J Cleymans, L Marques, S Mogliacci, and M W Paradza. On the precise determination of the tsallis parameters in proton–proton collisions at lhc energies. *Journal of Physics G: Nuclear and Particle Physics*, 45(5):055001, March 2018. ISSN 1361-6471. doi: 10.1088/1361-6471/aaaea0. [IOPScience].
- [23] Arvind Khuntia, Sushanta Tripathy, Raghunath Sahoo, and Jean Cleymans. Multiplicity dependence of non-extensive parameters for strange and multi-strange particles in proton-proton collisions at $\sqrt{s} = 7$ s = 7 tev at the lhc. *The European Physical Journal A*, 53(5), May 2017. ISSN 1434-601X. doi: <https://doi.org/10.1140/epja/i2017-12291-8>. URL <https://doi.org/10.1140/epja/i2017-12291-8>. [Springer].
- [24] Kapil Saraswat, Prashant Shukla, and Venktesh Singh. Transverse momentum spectra of hadrons in high energy pp and heavy ion collisions. *Journal of Physics Communications*, 2(3):035003, March 2018. ISSN 2399-6528. doi: 10.1088/2399-6528/aab00f. [IOPScience].
- [25] Kapil Saraswat, Prashant Shukla, Vineet Kumar, and Venktesh Singh. Strange hadron production in pp, ppb and pbbp collisions at lhc energies. *The European Physical Journal A*, 53(5), May 2017. ISSN 1434-601X. doi: <https://doi.org/10.1140/epja/i2017-12276-7>. URL <https://doi.org/10.1140/epja/i2017-12276-7>. [Springer].
- [26] V. D. Burkert, L. Elouadrhiri, and F. X. Girod. The pressure distribution inside the proton. *Nature*, 557(7705):396–399, May 2018. ISSN 1476-4687. doi: <https://doi.org/10.1038/s41586-018-0060-z>. URL <https://doi.org/10.1038/s41586-018-0060-z>. [Nature].
- [27] CLAS Collaboration. Measurement of deeply virtual compton scattering beam-spin asymmetries. *Phys. Rev. Lett.*, 100:162002, Apr 2008. doi: 10.1103/PhysRevLett.100.162002. URL <https://link.aps.org/doi/10.1103/PhysRevLett.100.162002>. [APS].
- [28] CLAS Collaboration. Cross sections for the exclusive photon electroproduction on the proton and generalized parton distributions. *Phys. Rev. Lett.*, 115:212003, Nov 2015. doi: 10.1103/PhysRevLett.115.212003. URL <https://link.aps.org/doi/10.1103/PhysRevLett.115.212003>. [APS].
- [29] Dimitar Lubomirov Mihaylov. First experimental test of hal qcd lattice calculations for the multi strange hyperon - nucleon interaction with alice. *Nuclear Physics A*, 1005:121760, January 2021. ISSN 0375-9474. doi: <https://doi.org/10.1016/j.nuclphysa.2020.121760>. URL <https://doi.org/10.1016/j.nuclphysa.2020.121760>. [Elsevier].
- [30] Frank Wilczek. Quantum chromodynamics: The modern theory of the strong interaction. *Annual Review of Nuclear and Particle Science*, (32):177–209, 1982. URL <https://www.annualreviews.org/doi/pdf/10.1146/annurev.ns.32.120182.001141>. <https://www.annualreviews.org/doi/pdf/10.1146/annurev.ns.32.120182.001141>.
- [31] K. Johnson. The m.i.t bag model. *ACTA PHYSICA POLONICA*, B6(6):1–28, 1975. URL <https://www.actaphys.uj.edu.pl/fulltext?series=Reg&vol=6&page=865>.